

§1 前言 直線的に急増する動荷重による動的変位の Duhamel 積分と

これを構成する要素時間について解析する

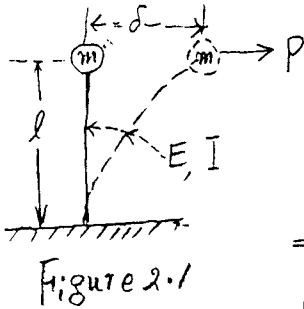


Figure 2.1

§2 振動. 弾性諸元  $E, I$  長さ  $l$  の柱で支

えられた質量  $m$  に力  $P$  が作用して変位  $\delta$  で

静的に釣り合う時  $\delta = P \cdot l^3 / (3EI)$ , Spring 常数  $K$

$$= P \cdot (\delta)'$$

$P$  を解きはなすと  $m$  は自由振動をする

固有振動周期  $= T, \omega \cdot T = 2\pi$  から  $\omega$  が求まる

time,  $\tau$  に比例して作用する動的荷重  $= F(\tau)$

time,  $t=0$  (初期) の時条件

変位  $y=y_0$ , 初速  $v=v_0$  を与えると 減衰無しとして  $m \frac{d^2 y}{dt^2} + ky + F(\tau) = 0$  であるこの解は

$$y(t) = y_0 \cos \omega t + v_0 \omega' \sin \omega t \quad \text{即ち } t \text{ 秒後の動的変位である}$$

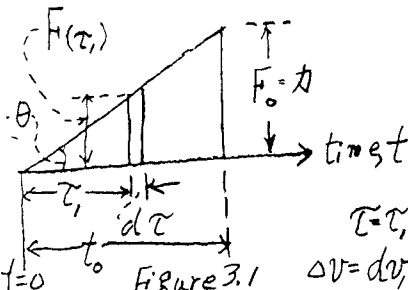


Figure 3.1

§3 Duhamel 積分. 質点に加わる Dyn-

mical load を  $F(\tau)$  として zero から

直線的に急増し  $F_0$  で終わる とする

$\tau = \tau_0$  の時,  $F(\tau)$  が  $d\tau$  間作用して 生ずる速度  $\Delta v$  を

$$\Delta v = dv \quad \text{とすれば} \quad m \cdot (dv) = F(\tau) \cdot d\tau \quad \text{である}$$

$y_0 = \text{zero}$  とした時  $t$  秒後の効果は superposition で求められる。  $v_0 \omega' \sin \omega t$

$$\text{から } y(t) = m' \cdot \omega' \int_{\tau=0}^{\tau=t} F(\tau) \cdot \sin \omega(t-\tau) d\tau \quad \text{ここで } \sin \text{ を展開して}$$

$$= m' \cdot \omega' \int_{\tau=0}^{\tau=t} F(\tau) \{ \sin \omega t \cdot \cos \omega \tau - \cos \omega t \cdot \sin \omega \tau \} d\tau \quad \text{ここで } \sin \omega t \cdot \cos \omega \tau \text{ は}$$

$\tau$  に対し常数だから  $\tau$  は任意 にえらべる。  $F(\tau) = F_0 \cdot t_0' \cdot \tau$  とおき  $\tau$  の積分を  $t_0$  までとって

$$y(\tau=t_0) = m' \cdot \omega'^2 F_0 t_0' \left[ t_0 \{ -\omega' t_0' \sin(\omega t_0) + 1 \} \right] \quad \text{を得る}$$

YOSIO IMAI

§4 要素時間の解析

dynamical Load  $F_1(\tau)$  による質点の動的変位  $y(\tau=t_0)$  は要素  $t_0$  の関数

になっている。  $\{-\omega^{-1}t_0^{-1}\sin(\omega t_0) + 1\}$  の negative をとった  $\omega^{-1}t_0^{-1}\sin(\omega t_0)$  を  $t_0$  で

微分してみる 
$$\frac{d\{\omega^{-1}t_0^{-1}\sin\omega t_0\}}{dt_0} = \omega^{-1} \frac{d\{t_0^{-1}\sin\omega t_0\}}{dt_0}$$

$$= \omega^{-1} \{-1t_0^{-2}\sin(\omega t_0) + \cos(\omega t_0) \cdot \omega t_0^{-1}\} = -\omega^{-1}t_0^{-2}\sin\omega t_0 + t_0^{-1}\cos\omega t_0$$

$$= \left\{ (t_0^{-1})^2 + (-\omega^{-1}t_0^{-2})^2 \right\}^{\frac{1}{2}} \cdot \sin \left\{ \omega t_0 + \tan^{-1} \left[ t_0^{-1} (-\omega^{-1}t_0^{-2})^{-1} \right] \right\}$$

$$= \left\{ (t_0^{-1})^2 + (-\omega^{-1}t_0^{-2})^2 \right\}^{\frac{1}{2}} \sin \left\{ \omega t_0 + \tan^{-1} [-\omega t_0] \right\} \quad \therefore \omega t_0 = 4.49$$

の時  $\sin \left\{ \omega t_0 + \tan^{-1} [-\omega t_0] \right\} = \sin \left\{ 4.49 + \tan^{-1} [-4.49] \right\} = \sin \left\{ 4.49 - 1.3577 \right\}$

$$= \sin \left\{ 3.138 \right\} = 0.0032, \quad \omega t_0 = 4.5 \text{ の時 } \sin = -0.006 \quad \text{即ち接線は水平となる}$$

§5 結言. Figure 2.1 の  $F_1(\tau)$  は地震加速度波の立ち上がりの模様を示すが

構造物の固有周期  $T$  から  $\omega \cdot T = 2\pi$  によって  $\omega$  を知り  $\omega t_0 = \pi$  までは Figure 2.1 の

$$\delta = F_0 \cdot l^3 (3EI)^{-1} \quad \text{以内である} \quad \omega t_0 = 4.49 \text{ で } \delta = F_0 \cdot l^3 (3EI)^{-1} \quad \text{の} 1.21 \text{ 倍に達}$$

することになる。地震災害を調べる時 変位応答スペクトルと共に最大 gal

の直前の digital 数値から  $\omega t_0$  を求めてこの観点から考察もほしいものである (1994-12-25)